

## استخدام طريقة المسح الزلزالي الانكساري التصويري وتقنية التحليل متعدد القنوات للموجات السطحية في عملية التقييم الجيوتكنكي لموقع شقق الأمل في كركوك، شمالي العراق

محمود عبدالله المفرجي

قسم الجيولوجيا التطبيقية

كلية العلوم

جامعة كركوك

بشار عزيز الجريسي

قسم علوم الأرض

كلية العلوم

جامعة الموصل

علي زهير النعيمي

قسم علوم الأرض

كلية العلوم

جامعة الموصل

(تاریخ الاستلام 2018/6/6 ، تاریخ القبول 19/8/2018)

### الملخص

تضمن البحث الحالي اجراء مسح زلزالي انكساري باستخدام طريقة المسح الزلزالي الانكساري التصويري (Seismic Refraction Tomography, SRT)، كما تضمن استخدام تقنية التحليل متعدد القنوات للموجات السطحية (Multi-channel Analysis of Surface Waves, MASW) لموقع شقق الأمل في محافظة كركوك شمالي العراق من أجل تحديد سماكة الطبقات تحت السطحية وعمقها وسرعتها، واجراء عملية التقييم الجيوتكنكي، ومعرفة خصائص هذه الطبقات وتحديد الطبقة المناسبة لإقامة المشروع عليها. تمت معالجة البيانات وتقسيرها باستخدام البرنامج الحاسوبي SeisImager<sup>TM</sup>/SW للحصول على سرعة الموجات الزلزالية الطولية ( $V_p$ ) وتمثيلها على شكل مقاطع زلزالية تصويرية واستخلاص السرعة الزلزالية القصبة ( $V_s$ ) من السرعة الطورية (Phase velocity) لموجات رايلى السطحية (Rayleigh surface waves) بوساطة طريقة (MASW). تم الحصول على مقاطع زلزالية تصويرية ثنائية بعد تمثل السرعة الطولية ( $V_p$ ) مع العمق لخطوط المسح كما تم الحصول على ثلاثة مقاطع أحاديد بعد تمثل السرعة القصبة مع العمق لمنطقة البحث. أظهرت النتائج وجود ثلاث طبقات، ومن خلال حساب معاملات المرونة الديناميكية وحساب اثنين من المعاملات الجيوتكنكية للطبقات الثلاثة بالاعتماد على السرعات الزلزالية الطولية والقصبة والكتافة، وطبقاً لهذه المعاملات تبين بأن الطبقة الثالثة تمتلك مواصفات جيوتكنكية أفضل من الطبقات التي تعلوها، وهي مناسبة لإقامة المشروع الهندسي عليها.

**الكلمات الدالة:** الطريقة الانكسارية، المسح التصويري، تقنية التحليل متعدد القنوات، التقييم الجيوتكنكي.

# The Use of the Seismic Refraction Tomography Survey Method and the Multi-Channel Analysis Technique of Surface Waves in the Geotechnical Assessment of the Al-Amal Apartments Site in Kirkuk, Northern Iraq

**Ali Z. Al-Nuaimy**

*Department of Geology  
Geology of Science  
University of Mosul*

**Bashar A. Al-Juraisy**

*Department of Geology  
College of Science  
University of Mosul*

**Mahmood A. Al-Mafraji**

*Department of Applied  
College of Science  
University of Kirkuk*

## ABSTRACT

The current study conducted a seismic refraction survey using seismic refraction tomography (SRT), and the use of the multi-channel analysis technique of surface waves (MASW) at the site of Al-Amal apartments in Kirkuk Governorate (northern Iraq) in order to determine the thickness, depth and velocity of the sub-surface layers. Moreover, a geotechnical assessment is measured in addition to determining the characteristics of these layers and specifying the appropriate layer for establishing the project. The data are processed and interpreted by using SeisImager™/SW software to obtain the velocity of longitudinal waves ( $V_p$ ) represented in the form of a seismic tomography section. The velocity of shear waves ( $V_s$ ) is extracted from the phase velocity of Rayleigh surface waves using MASW method. The 2D seismic tomography sections represent longitudinal velocity ( $V_p$ ) and the depth of the survey lines. It also has been got three one-dimensional sections representing shear waves ( $V_s$ ) with the depth. The results show the presence of three layers, and through dynamic flexibility parameters are calculated, and two of geotechnical parameters are applied for the three layers based on the seismic velocity of longitudinal, shear and density. According to these geotechnical parameters, the third layer has better geotechnical specifications than the layers above it, which is suitable for the engineering project.

**Keywords:** Refraction Method, Tomography Survey, Multi-Channel Analysis Technique (MASW), Geotechnical Assessment.

## المقدمة

تعد طريقة التصوير المقطعي او ما يسمى (الانكسار الزلزالي التصويري Seismic Refraction Tomography, SRT) واحدة من الطرائق الجيوفизيائية الحديثة التي تستخدم لتقدير البيانات الزلزالية الانكسارية، والتي توفر معلومات ثنائية البعد (2D) عما يوجد تحت السطح. وتستخدم طريقة العكس (Inversion) لتحديد سرعة الطبقات ورسم مقاطع لها (Hamazah and Samsadin., 2006). تعتمد هذه الطريقة على التقاط أزمنة الوصول حيث تقوم البرامج الخاصة بهذه الطريقة باختيار أفضل تطابق

للسرعة عن طريق مبدأ التكرار (Iteration) حيث يتم أولاً إنشاء موديل ابتدائي (Initial Model) من قبل المفسر ويتم تعديل الموديل الابتدائي لتقليل الفرق بين زمن وصول الموجات المحسوب (Calculated) وبين البيانات الفعلية (الزمن الملاحظ) (Observed) لنجعل على موديل ثانٍ بعد حيث يظهر التدرج بالسرعة بشكل عمودي وأفقى بعدها يقوم البرنامج بعملية التكرار وتكون هذه الطريقة أكثر فعالية في عملية التحريرات الموقعة، ومعرفة خصائص الموقع بالمقارنة مع طريقة المسح الزلالي الانكساري التقليدية (Azwin *et al.*, 2013).

أجريت في العراق العديد من الدراسات التي استخدمت طريقة المسح الزلالي الانكساري لأغراض مختلفة ومنها عملية التقييم الجيوتكنيكى وإيجاد خواص الصخور وعمق الطبقات نذكر منها الدراسة التي قام بها (Khorshid *et al.*, 2014) حيث استخدم الطريقة الزلالية الانكسارية في التقييم الجيوتكنيكى لترابة جامعة تكريت، وأجرى الخفاجي (2015) مسحا زلاليًا بئريا وجيوتكنيكيا متقطعاً (Cross hole) لترابة موقع فندق الخيام في محافظة كربلاء لمعرفة مناطق الضعف وأعماقها.

إن تقنية التحليل متعدد القنوات للموجات السطحية (MASW) وهي طريقة استكشاف زلالية لتقدير وإيجاد الموجات القصبية (Shear Waves) طبقت لأول مرة من (Park *et al.*, 1999)، إذ يتم نشر اللاقطات بشكل خط مستقيم وبمسافات متساوية في منطقة الدراسة. وتستخدم هذه الطريقة خصائص موجات رايلي (Rayleigh waves) للحصول على سرعة الموجات القصبية، وتستخدم بشكل كبير في التطبيقات ذات العمق الضحل المتعلقة بالأعمال البيئية والهندسية والجيوتكنيكية. تقسم طريقة (MASW) إلى نوعين بالاعتماد على مصدر الطاقة المستخدم لتوليد الموجات، النوع الأول: يسمى الفعال (Active) والذي تستخدم فيه مصادر زلالية تقليدية، مثل: المطرقة والهزازات وغير ذلك (مصادر صناعية)، ويكون موقع المصدر معلوماً، والنوع الثاني: يسمى السلبي (Passive) ويعتمد على المصادر الطبيعية، مثل: النشاط الإنساني أو حركة المرور، كونها مصدراً للطاقة، أما ترتيب اللاقطات فيها فيكون بشكل خطى أو بأشكال هندسية مختلفة (Park *et al.*, 2007) إذ يمثل المصدر (الضوضاء المحيطة) والتي تنتشر في مختلف الاتجاهات.

أجريت في العراق دراسات استخدمت فيها تقنية (MASW)، إذ قام (Shakir, 2012) بإجراء دراسة للموقع المقترن لإقامة مترو النجف باستخدام تقنية (MASW)، بالإضافة إلى الطرق الجيوفизيائية الأخرى لغرض تحديد نوعية الطبقات وتحديد خواصها الجيوتكنيكية، كما أجرى الهيثي (2014) مسحا زلاليًا انكساريًا لموقع المستشفى التعليمي في جامعة الموصل، واستخدم تقنية (MASW) لتحديد سمك الطبقات وحساب بعض المعاملات الهندسية.

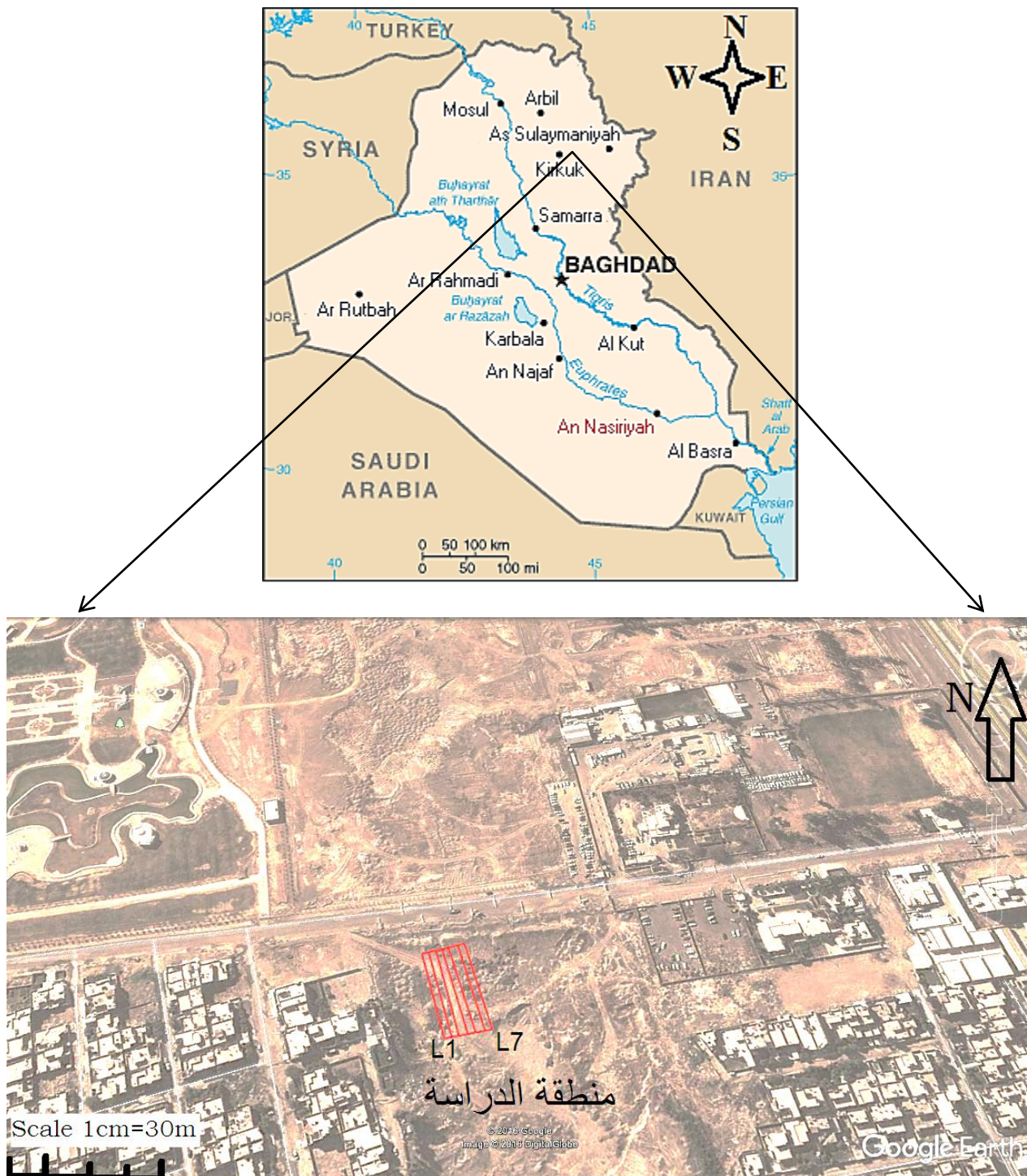
## موقع منطقة الدراسة

تقع منطقة الدراسة (الشكل 1) بين خطى (°35 24' 46") شمالاً و (°15 22' 44") شرقاً في الجانب الشرقي من مدينة كركوك بالقرب من نهر الخاصة. تمثل منطقة الدراسة موقعاً مقترناً لإنشاء عمارة سكنية تتألف من عشرة طوابق، وهي عبارة عن منطقة مستطيلة محددة الجوانب تبلغ مساحتها (2079) متر مربع، ويبلغ طولها (63) م وعرضها (33) م، وهي شبه مستوية، وتكون اوطأً من المناطق المحيطة بها من ناحية الارتفاع.

### جيولوجية منطقة الدراسة

تقع محافظة كركوك ضمن الرصيف القاري غير المستقر (unstable shelf)، وقسم (Sissakian., 1992) محافظة كركوك إلى قسمين: المنطقة الأولى تتتألف من أراضي شبه منبسطة ومن هضاب متدرجة وبعض التلال وتقع منطقة الدراسة ضمن هذه المنطقة، تتتألف المنطقة الثانية من منطقة الجبال وتقع في الجزء الشمالي والشمالي الشرقي من المحافظة وفي أقصى جنوبها الغربي، تغطي منطقة الدراسة العديد من التكوينات الجيولوجية ابتداءً من المايوسين الأوسط إلى تربات العصر الرباعي وهي من الأقدم:

- تكوين فتحة: يعود عمر هذا التكوين إلى المايوسين الأوسط، ويكون من توابع صخور الانهاريات والجبس والملح وتدخل مع صخور الحجر الجيري والمارل (Bellen *et al.*, 1959).
- تكوين إنجانة: الذي يعود عمره إلى المايوسين الأعلى ويتألف من وحدتين: الوحدة السفلية تحتوي على طبقات رقيقة من الحجر الرملي الكلي، أما الوحدة العلوية فتتكون من صخور الحجر الرملي الخشن.
- تكوين مقدادية: عمر هذا التكوين المايوسيني الأعلى\_ البلايوسين، ويكون من صخور الحجر الرملي الخشن والحجر الرملي والصلصال الأحمر.
- تكوين باي حسن: يعود عمره إلى البلايوسين، ويكون من المدملكات، ويمكن تحديده بظهور أول طبقة من المدملكات، ويكون من الصخور الطينية والحجر الرملي (Jassim and Goff., 2006).
- تربات العصر الرباعي: وهي تربات نهرية طموية (Alluvial Deposits)، تكون من الحصى والرمل والغربي والطين.



الشكل 1: خارطة ومرئية فضائية تبين موقع منطقة الدراسة موضحا عليها خطوط

المسح الزلزالي الانكساري.

### جمع البيانات

أجري المسح الزلزالي الانكساري على امتداد سبعة خطوط متوازية باتجاه (شمال-جنوب) وبطول (63م) لكل خط، ومسافة (5م) بين خط وآخر للحصول على سرعة الموجات الطولية ( $V_p$ ) وذلك باستخدام جهاز ABEM Terraloc MK.6 ، ذي 12 قناة وباستخدام لاقطات أرضية عمودية ذات تردد طبيعي (10 Hz) ومطرقة يوزن (7 كغم) كمصدر للطاقة. كل خط يتكون من ثلاثة مسارات (أمامي ومعكوس) بطول (33م) لكل مسار وبتدخل (Overlap) مقداره (18م) بين مسار وآخر، وقد كانت المسافة بين لاقطة وأخرى (3م). كما تم اجراء المسح على مسار عمودي على الخطوط السابقة (أمامي ومعكوس) باتجاه (شرق-غرب) وبطول (33م). ان درجة النمذجة المستخدمة هي ( $50\mu s$ ) وطول التسجيل هو (.819.2 msec).

استخدام تقنية (MASW) تمت عن طريق اجراء مسح زلزالي انكساري (أمامي ومعكوس ووسطي) على امتداد ثلاثة مسارات بطول (55م) لكل مسار وبمسافة (5م) بين لاقطة وأخرى على طول المسار من أجل الحصول على سرعة الموجات القصبية ( $V_s$ ) وباستخدام نفس الجهاز سابق الذكر ودرجة النمذجة هي ( $500\mu s$ ) وطول التسجيل هو (1024 msec).

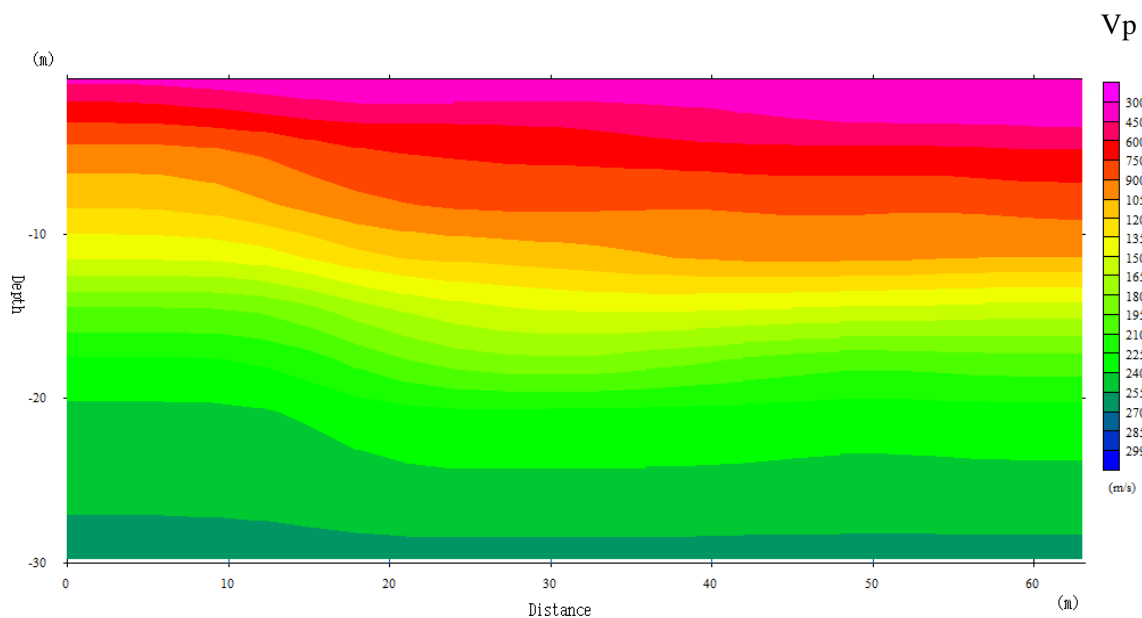
### معالجة وتفسير البيانات بطريقة التصوير المقطعي

تعتبر عملية التقاط أزمنة الوصول الأولى للموجات الزلزالية أولى خطوات التفسير، وقد تم اجراؤها من خلال برنامج Pickwin، فبعد إزالة الضوضاء يقوم البرنامج بعملية الانقاذه للأزمنة أوتوماتيكياً، ويمكن أن تقوم بالتعديل عليها يدوياً، ثم تقوم بعملية حفظ للأزمنة الملقطة (Save Pick File) على شكل ملف ذي صيغة (vs)، هذا الملف يتم فتحه من خلال برنامج التفسير وهو (Plotrefa Analysis)، وهذا البرنامج يقوم برسم منحنيات تمثل العلاقة (زمن-مسافة Time - distance Refraction curve)، ويحتوي هذا البرنامج على طرق لتقدير البيانات الزلزالية، من ضمنها طريقة التصوير المقطعي، والتي استخدمت لوضع موديل السرعة Velocity model، والموديل الطبقي Layered model لمنطقة الدراسة. وتعمل هذه البرامج على تمثيل البيانات بشكل مقاطع عرضية (Cross-Section) تمثل ما يوجد تحت السطح عن طريق عكس منحني (مسافة\_زمن).

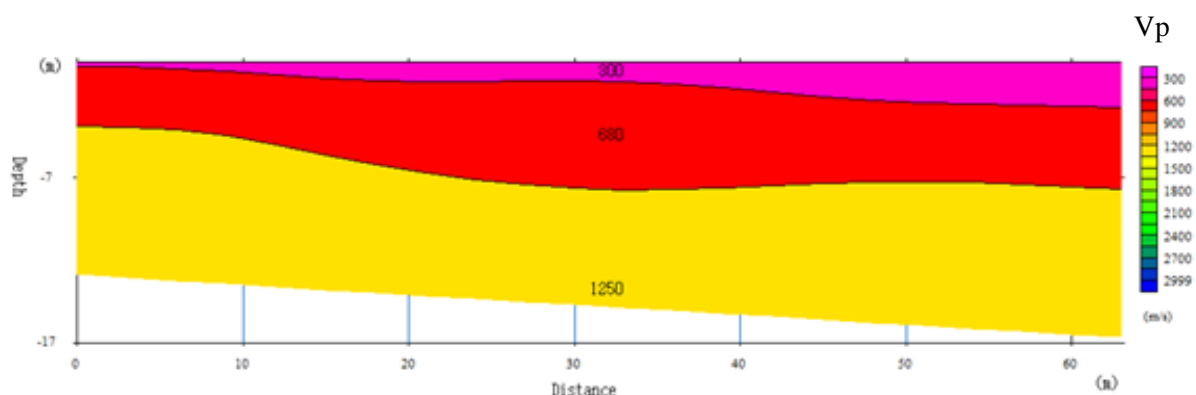
أظهرت نتائج المسح الزلزالي الانكساري التصويري وجود ثلاث طبقات في جميع خطوط المسح، تتمثل الطبقة الأولى سرعة زلزالية طولية تتراوح بين (300 م/ثا - 500 م/ثا) وسمك يصل إلى (3.47م)، وهي تمثل طبقة التربة السطحية (Superficial) وتكون غير متماسكة، تتالف من الرمل والطين. وتتمثل الطبقة الثانية سرعة زلزالية طولية تتراوح بين (680 م/ثا - 870 م/ثا) وسمك يتراوح بين (3.07م - 9.20م)، وتم تفسير هذه الطبقة على أنها تمثل طبقة من المصاطب النهرية (River Terraces) والتي تتكون من رواسب نهرية من المواد الطينية والغرينية والحسى والطين والرمل،

وتعود أعمارها إلى عصر البلاستوسين، ويمكن مشاهدتها بالقرب من نهر الخاصية وفي مقالع الحصى والرمل، أو بعد تجوية الجزء العلوي من التربة السطحية ، أما الطبقة الثالثة فتمتلك سرعة زلزالية طولية تتراوح بين (1250 م/ثا - 1800 م/ثا) وعمقها يتراوح بين (4.08- 9.74 م)، تم تقسيم هذه الطبقة على أنها تمثل الجزء العلوي من تكوين باي حسن الذي يتكون من المدملكات والصخور الطينية والرملية، ويختلف عن المصاطب النهرية باحتوائه على نسبة من الكاربونات تقدر بـ 30% ، ويعود عمره إلى البلايوسین ، وهذا التقسيم يتوافق مع المعلومات التي تم الحصول عليها من خلال المشاهدات الحقلية للمكافحة الصخرية القريبة ومع الآبار المحفورة بالقرب من منطقة الدراسة، والأسкаل (2، 3، 4) تمثل نموذجاً لنتائج المسح التصويري عند الخطوط (1، 4، 7) .

#### a: Seismic Refraction



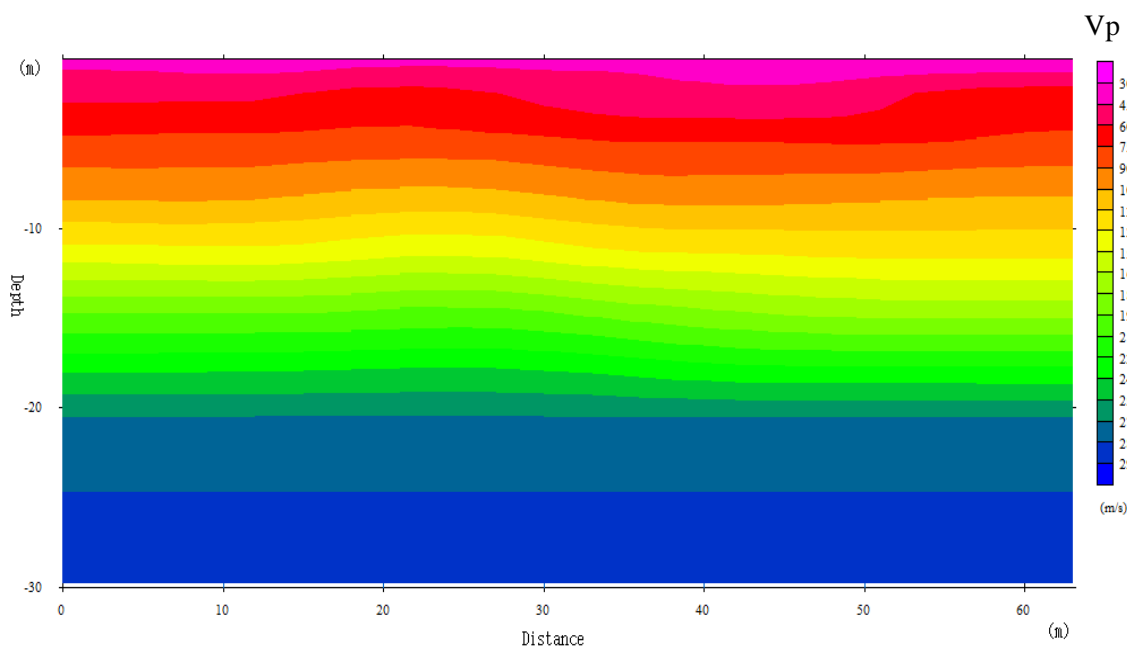
#### b: Layered model



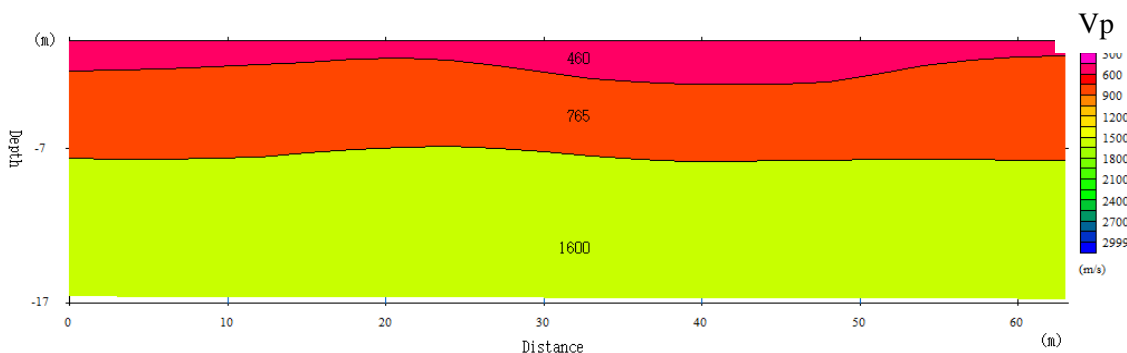
الشكل 2: يمثل a مقطع زلزالي تصويري للخط الأول.

b: مقطع زلزالي طبقي للخط الأول.

a: Seismic Refraction



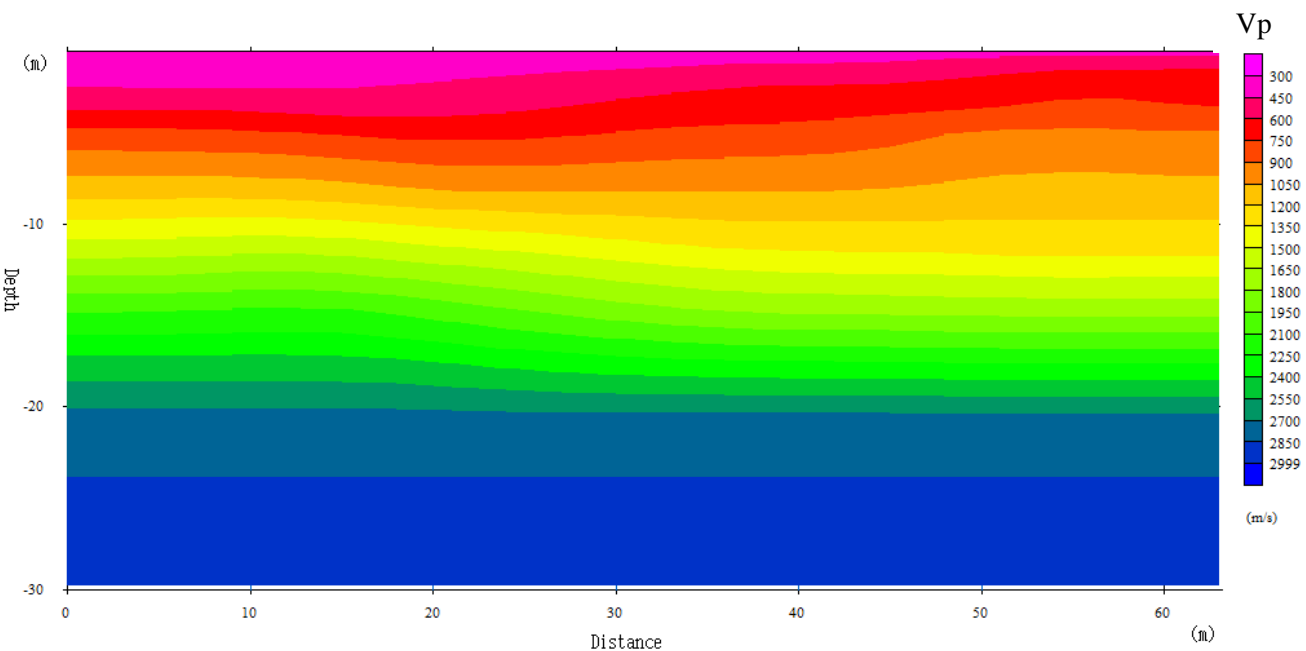
b: Layered model



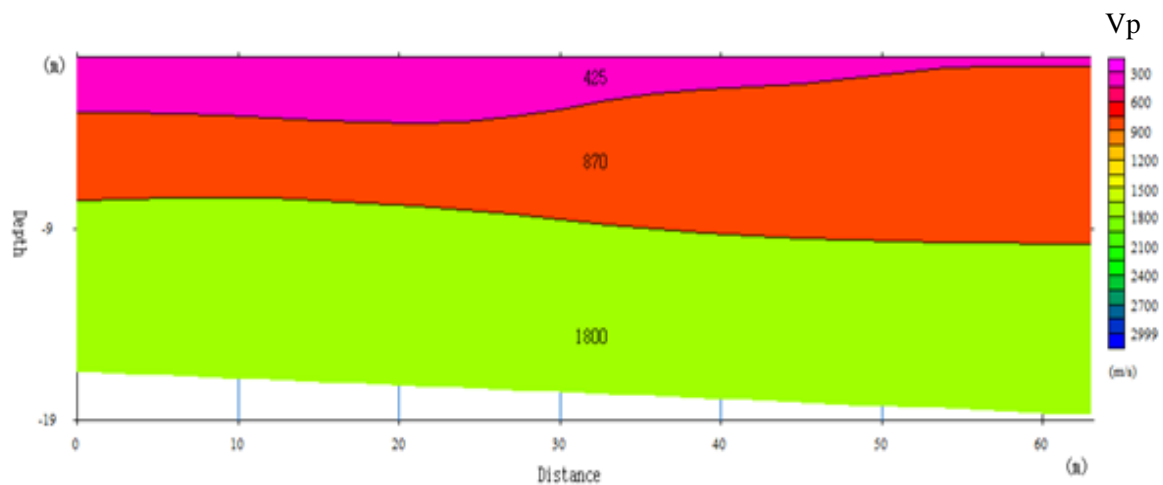
الشكل 3: يمثل a مقطع زلزالي تصويري للخط الرابع.

b : مقطع زلزالي طبقي للخط الرابع.

### a: Seismic Refraction



### b: Layered model



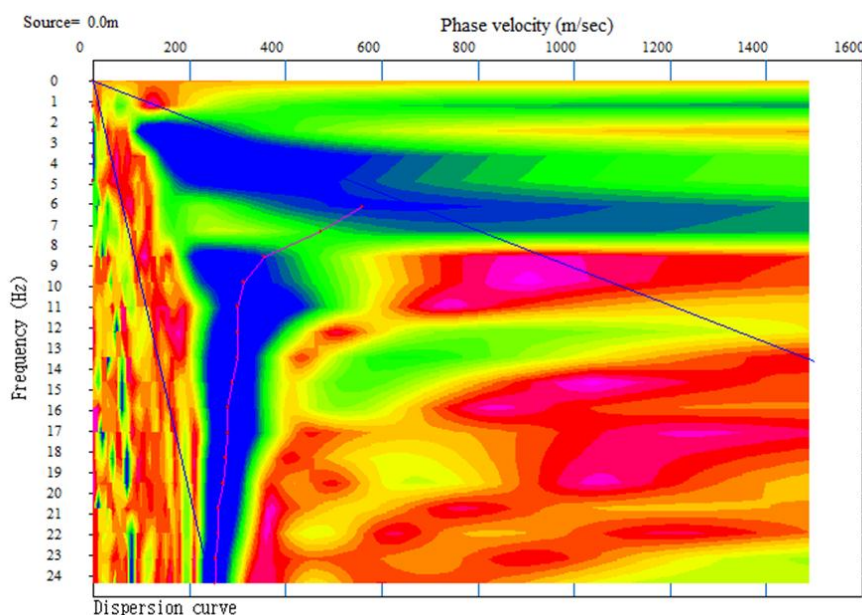
الشكل 4: يمثل a مقطع زلالي تصويري للخط السابع.

b: مقطع زلالي طبقي للخط السابع.

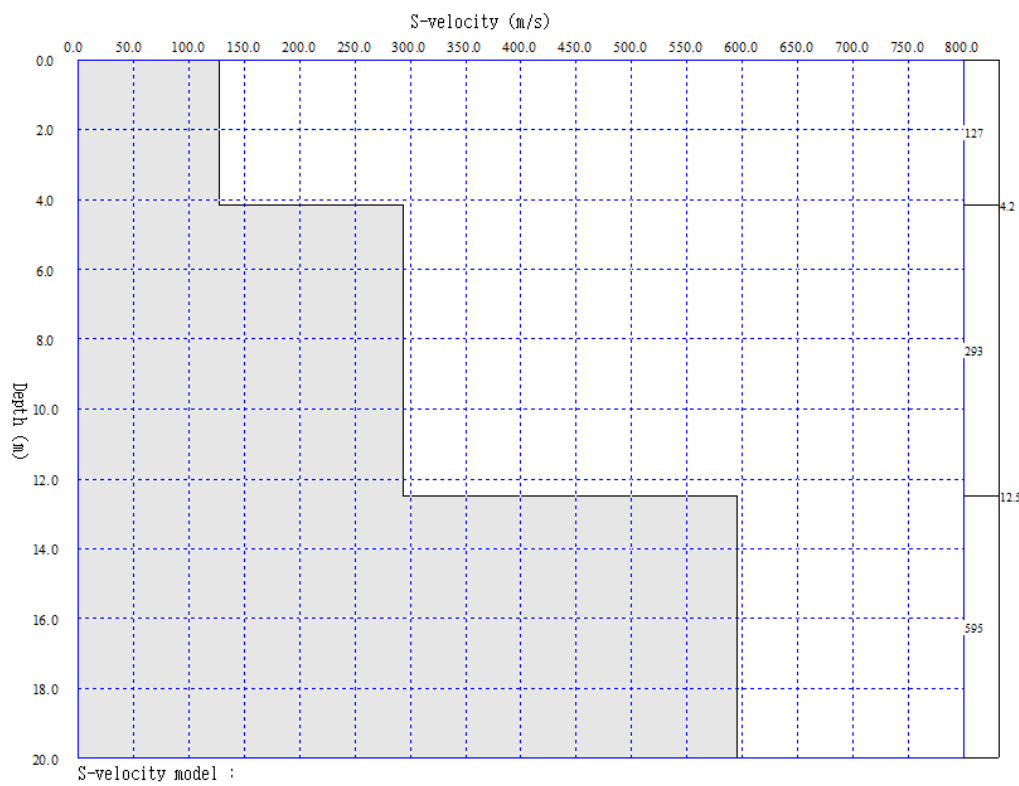
## المعالجة وتفسير البيانات بتقنية MASW

تم عملية المعالجة عن طريق تحليل بعض خصائص التشتت، مثل سرعة طور موجات رابلي كدالة للتردد من البيانات الأولية للمسح، وقد تمت عملية المعالجة لثلاثة مسارات تم تسجيلها لتقنية (MASW)، باستخدام برنامج SeisImager/SW، وبعد أن يتم جمع البيانات تقوم أولاً بفتح هذه الملفات واجراء التعديلات الازمة عليها عن طريق البرنامج والتي تتضمن ادخال المسافات بين اللاقطات وتحديد موقع نقطة المصدر، وتأتي الخطوة الثانية وهي حساب التشتت وتشكيل منحنيات التشتت عن طرق تحويلية (f-k) (الشكل 5)، وبعد ذلك تقوم بعملية العكس الذي يعتبر الخطوة الثالثة والأخيرة لاستخلاص سرعة الموجات القصبية والحصول على مقاطع أحاديد بعد، إذ تعطي عملية العكس لمنحنيات التشتت، التغييرات العمودية في سرعات الموجات القصبية ( $V_s$ ) مع العمق تحت منطقة التحري.

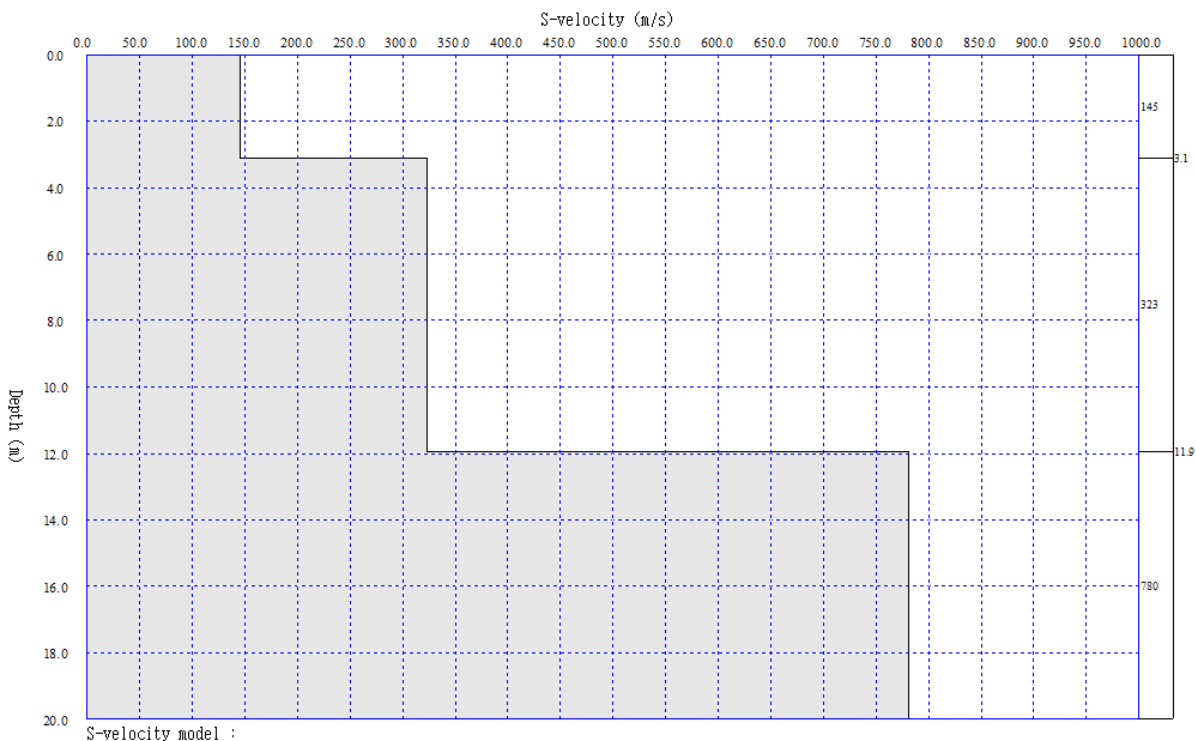
أظهرت موديلات السرعة القصبية مع العمق وجود ثلاث طبقات، تمتلك الطبقة الأولى سرعة قصبية تتراوح بين (127 م/ثا-192 م/ثا)، وتمتلك الطبقة الثانية سرعة قصبية تتراوح بين (351 م/ثا-293 م/ثا) أما الطبقة الثالثة فتتراوح سرعتها القصبية بين (595 م/ثا-920 م/ثا). الأشكال (8,6).



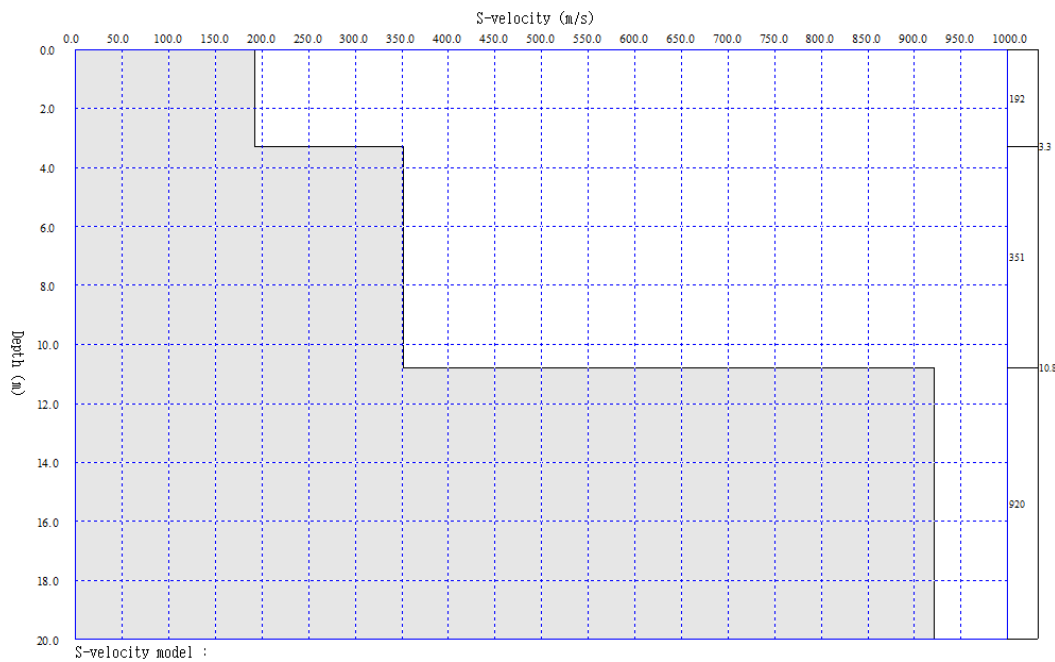
الشكل 5: يظهر منحني التشتت (Dispersion Curve).



الشكل 6: يمثل مقطع أحادي بعد للسرعة القصبة مع العمق للمسار الأول.



الشكل 7: يمثل مقطع أحادي بعد للسرعة القصبة مع العمق للمسار الثاني.



الشكل 8: يمثل مقطع أحادي البعد للسرعة القصبة مع العمق للمسار الثالث.

### حساب قيم الكثافة

تم حساب قيمة الكثافة ( $\rho$ ) للطبقات بطريقة المخروط الرملي (sand cone)، وتتلخص هذه الطريقة بعمل حفرة دائرية الشكل بقطر حافة الجهاز، وبمقدار (20 سم)، وتم وزن كمية التربة المستخرجة منها بميزان الكتروني، ثم تم ملء الحفرة برمel معلوم الكثافة والوزن، ومن خلال معادلات رياضية بسيطة تُحسب الكثافة الحقلية لكل طبقة.

### التقييم الجيوتكنيكى

إن عملية التقييم الجيوتكنيكى للموقع لها أهمية كبيرة جدا في الأعمال الهندسية المدنية، لذلك تم حساب الخصائص الجيوتكنيكية بالاعتماد على قيم سرعات الموجات الزلزالية ( $V_p$ ) و( $V_s$ ) وقيم الكثافة المقاسة حقليا كما موضح بالجدوال (1) و(2).

### 1- نسبة بويزن ( $\sigma$ ): Poisson's Ratio

تُعد هذه النسبة عاملًا مهمًا في الأعمال الهندسية، إذ يتم حسابها أكثر من غيرها، وقد تراوحت قيم هذه النسبة بين (0.39 - 0.41) للطبقة الأولى، وبين (0.38 - 0.40) للطبقة الثانية، أما الطبقة الثالثة

فترواح بين (0.32 - 0.35)، ويدل انخفاض قيمة هذه النسبة على زيادة الصلاة، إذ ان العلاقة بين السرعة القصبية ونسبة بويزن (5) هي علاقة عكسية.

## 2- معامل يونك (E): Young's Modulus (E)

يعد من المعاملات المهمة؛ وذلك بسبب علاقته مع المعاملات الأخرى، فترداد قيمة هذا المعامل بزيادة سرعة الموجات الزلزالية وصلابة الصخور، إذ بلغت أقل قيمة لمعامل يونك عند الطبقة الأولى، وهي بمعدل (97.79) ميغا باسكال، بينما كانت القيمة العليا لهذا المعامل عند الطبقة الثالثة، وهي بمعدل (2897.67) ميغا باسكال. إذ إن العلاقة بين السرعة القصبية ومعامل يونك هي علاقة طردية.

## 3- المعامل الحجمي (K) : Bulk Modulus (K)

تم حساب هذا المعامل من خلال علاقته مع معامل يونك ونسبة بويزن، وقد بلغت قيمة معدل هذا المعامل للطبقة الأولى (177) ميغا باسكال، وللطبقة الثانية (754.38) ميغا باسكال، أما الطبقة الثالثة فبلغت (2896.9) ميغا باسكال.

## 4- معامل القص أو الصلاة (μ) : Rigidity or Shear Modulus (μ)

يعد من المعاملات المهمة من الناحية الهندسية، إذ تزداد قيمة هذا المعامل بزيادة العمق وزيادة سرعة الموجات الزلزالية، فقد كانت أقل قيمة عند الطبقة الأولى بمعدل (34.75) ميغا باسكال، وأعلى قيمة عند الطبقة الثالثة بمعدل (1087.76) ميغا باسكال

## 5- ثابت لامي (λ) : Lame's Constant

يمثل هذا المعامل مقاييسا لمقاومة الوسط المتجلانس، إذ بلغت قيمة معدل هذا المعامل للطبقة الأولى (153) ميغا باسكال، وللطبقة الثانية (642.8) ميغا باسكال، وللطبقة الثالثة (2171.88) ميغا باسكال.

## 6- معامل المادة (V) : Material Index (V)

يعد من المعاملات الجيوتكنيكية المهمة، ويمثل درجة كفاءة المواد، إذ تستخدم قيمة هذا المعامل لتحديد نوعية المواد وجودتها، وينثر هذا المعامل بعدة عوامل: منها درجة الانضمام، تركيب المادة، وجود أو عدم وجود الماء في الفراغات والشقوق، الكسور. فزيادة قيمة هذا المعامل مع العمق يدل على زيادة صلابة التربة وتراوحت قيمة هذا المعامل ما بين (-0.29) عند الطبقة الأولى إلى (-0.56) عند الطبقة الثالثة.

## 7- معامل نسبة الاجهاد او الضغط (Si) : Stress Ratio (Si)

يمثل هذا المعامل أحد المعاملات الجيوتكنيكية المهمة من الناحية الهندسية، وأشار (Bowle, 1982) الى ان قيمة هذا المعامل تكون عالية في الترب الناعمة، وتقل قيمته بزيادة الضغط أو الصلاة وبين El- Abd Rahman(1991) ان هناك علاقة تربط بين سرعة الموجات الطولية والقصبية، وأظهرت قيمة هذا المعامل انخفاضا عند الطبقة الأولى، وارتفاعا عند الطبقة الثالثة، إذ بلغت قيمته للطبقة الأولى (0.48\_0.55) وللطبقة الثانية (0.63\_0.67) بينما الطبقة الثالثة (0.64\_0.7).

## Conclusions الاستنتاجات

- 1- أظهرت طريقة المسح الزلالي الانكساري التصويري (SRT) نتائج جيدة جداً في تحديد وضعية الطبقات تحت السطحية، وتم الحصول على مقاطع تصويرية زلالية وعميقة ثنائية البعد لخطوط المسح في منطقة الدراسة.
- 2- أظهرت تقنية التحليل متعدد الفنوات للموجات السطحية (MASW) مقاطع أحادية البعد تمثل السرعة القصبة مع العمق ولغاية (20م) لثلاثة مسارات في منطقة الدراسة وأظهرت موديلات السرعة القصبة مع العمق وجود ثلاث طبقات.
- 3- تميزت قيم نسبة بوينز (5) ونسبة الإجهاد ( $S_i$ ) بانخفاضها عند الطبقة الأولى وارتفاعها نسبياً عند الطبقة الثالثة، أما قيم معامل يونك (E) وثابت لامي ( $\lambda$ ) ومعامل القص ( $\mu$ ) ومعامل الحجمي (K) ومعامل المادة (V) بارتفاع قيمها عند الطبقة الأولى وانخفاضها تدريجياً عند الطبقة الثالثة جدول رقم (3) وأظهرت هذه القيم بأن الطبقة الثالثة تمتلك مواصفات جيوتكنيكية أفضل من الطبقات التي تعلوها وبذلك تكون مناسبة لإقامة المشروع الهندسي عليها.

الجدول 1: المعادلات المستخدمة في حساب معاملات المرونة.

Elastic Module	Used Formula	Reference
Poisson's Ratio ( $\delta$ )	$\sigma = \frac{1}{2} \left[ 1 - \frac{1}{(V_p/V_s)^2 - 1} \right] \quad \textcolor{blue}{\sigma} = \frac{1}{2} \left[ 1 - \frac{1}{(\frac{Vs}{Vp})^2 - 1} \right]$	Adams (1951), Salem (1990)
Young's Modulus (E)	$E = \rho \left[ \frac{3V_p^2 - 4Vs^2}{\left( \frac{V_p}{Vs} \right)^2 - 1} \right]$ $E = \rho \left[ \frac{3V_p^2 - 4Vs^2}{\left( \frac{Vs}{Vp} \right)^2 - 1} \right]$	Adams (1951)
Bulk modulus (K)	$K = \frac{E}{3(1 - 2\sigma)}$	K. Knödel, et al., (2007)
Shear Modulus ( $\mu$ )	$\mu = \left[ \frac{E}{2(1 + \sigma)} \right]$	King (1966), Toksoz <i>et al.</i> , (1976)
Lame's Constants ( $\lambda$ )	$\lambda = \frac{\sigma E}{(1 + \sigma)(1 - 2\sigma)}$	King (1966), Toksoz <i>et al.</i> , (1976)

الجدول 2: المعادلات المستخدمة في حساب المعاملات الجيوتكنيكية.

Index	Material (V)	$V = \frac{3 - (V_p / V_s)^2}{(V_p / V_s)^2 - 1}$	Abd El-Rahman <i>et al.</i> , (1994)
Stress Ratio (S <sub>i</sub> )		$S_i = 1 - 2 \left( \frac{V_s}{V_p} \right)^2$	Abd El-Rahman, (1991)

الجدول 3: يوضح معاملات المرنة والمعاملات الجيوتكنيكية التي تم حسابها.

V <sub>p</sub> m/s	V <sub>s</sub> m/s	ρ gm/cc	σ	E (Mpa)	K (Mpa)	μ	λ (Mpa)	V	S <sub>i</sub>
الطبقة الأولى									
300	127	1.27	0.39	56.98	86.99	20.48	73.33	-0.56	0.64
500	192	1.33	0.41	138.6	267.13	49	234.44	-0.65	0.70
الطبقة الثانية									
680	293	1.56	0.38	371.24	542.78	133.92	453.49	-0.54	0.63
870	351	1.63	0.40	563.41	965.99	200.82	832.11	-0.61	0.67
الطبقة الثالثة									
1250	595	1.77	0.35	1696.3	1930	626.62	1512.38	-0.41	0.55
1800	920	1.83	0.32	4099	3863.98	1548.91	2831.38	-0.29	0.48

### المصادر العربية

الخاجي، عمار جاسم محمد، 2015. المسح الزلزالي البئري والجيوتكنيكى لترية موقع فندق الخيام محافظة كربلاء. مجلة كلية العلوم الصرفه والتطبيقية، جامعة بابل، المجلد 23، العدد 1، ص 287 - 301.

الهبيتي، أحمد جدوع رضا، 2014. مسح زلزالي انكساري لموقع مشروع المستشفى التعليمي في جامعة الموصل. رسالة ماجستير، كلية العلوم، جامعة الموصل، 125 صفحة.

### المصادر الأجنبية

Abd El-Rahman, M., 1991. The Potential of Absorption Coefficient and Seismic Quality Factor in Delineating Less Sound Foundation Materials in Jabal Shib Az Sahara Area, Northwest of Sanaa, Yemen Arab Republic, Egypt. M.E.R.C. Earth Sciences, Ain Shams University, Egypt, Vol. 5, pp. 181 - 187.

- Abdel-Rahman, M., Helal, A.N.M.A., Mohamed, H.C. and Al-Malqi, I., 1994. Exploration Seismic for Site evaluation of the new city of El-Minya, Egypt- E.G.S. proc. of the 12th Ann. Meet. pp. 59 - 74.
- Adams, L.H., 1951. Elastic Properties of Materials of the Earth's Crust. Internal Construction of the Earth (edited by Gutenberg), Dover Publications, Inc., New York.
- Azwin, I.N., Saad, R. and Nor Diana, M., 2013 . Applying the Seismic Refraction Tomography for Site Characterization, APCBEE Procedia 5, January 19 - 20, Dubai, UAE, pp. 227 - 231.
- Bellen, R., Dunnington, H., Wetzel, R. and Morton, D., 1959. Lexique Statigraphique International, Vol.3, Iraq, Asia, 10a, 333 p.
- Bowles, J.E., 1982. Foundation Analysis and Design, 2nd Ed. McGraw-Hill International Book Company, London, 587 p.
- Hamzah, U. and Samsudin, A., 2006 . 2D Seismic Refraction Tomography Survey on Met sediment at a Proposed Development Site in Dengkil, Selangor, Geological Society of Malaysia Bulletin, 52, pp. 1 - 6.
- Jassim S. Z. And Goff J.C. 2006 . Geology of Iraq. 1st Edition Dolin, Prague and Moravian Museum, Brno, Czech Republic, 408 p.
- King, T.V.V., 1966 . Mapping Organic Contamination by Detection of Clay-Organic Processes, Proceeding Association of Ground Water Scientists and Engineers (AGWSE) / National Water Well Association (NWWA)/API.
- Khorshid, S.Z., Al-Awsi, M. and AL-Banna, A., 2014. Geotechnical Evaluation to the Soil of Tikrit University Using Seismic Refraction Method, Diyala Journal Pure Sciences,10, 17 p.
- Knödel, K., Lang, G. and Voigt, H.J., 2007 . Environmental Geology, Handbook of Field Methods and Case Studies, Hannover Federal Institute for Geosciences and Natural Resources, Springer Books, 1357 p.
- Park, C.B., Miller, R.D. and Xia, J., 1999 . Multichannel analysis of surface waves, Geophysics, Vol. 64, No.3, pp. 800 - 808.
- Park, C.B. Miller, R.D. Xia, J. Ivanov, J., 2007 . Multichannel Analysis of Surface Waves (MASW)-Active and Passive Methods, The Leading Edg, pp. 60 - 64.
- Salem, H.S., 1990 . A Theoretical and Practical Study of Petrophysical, Electric and Elastic Parameters of Sediments, Ph.D. Thesis, Kiel University, F. R. Germany , Publish by University Microfilms International (UMI), MI, USA, 200 p.
- Sissakian, V.K., 1992. The Geology of Kirkuk Quadrangle, sheet NI - 38 - 2, scale 1: 250 000. GEOSURV, Baghdad, Iraq .
- Shaker, A. M., 2012. Geophysical and Geotechnical Study of a Proposed Tunnel Site at Al-Najaf City, Southern Iraq. Unpublished Ph.D. thesis, Collage of Science, Baghdad University, 108 p.
- Toksoz, M.N., Cheng, C.H. and Timur, A., 1976. Velocities of Seismic Waves - Porous Rocks , Geophysics ,Vol. 41, pp. 621 - 645.